

Естественно, что в области значений магнитного поля u^* , отвечающих попаданию в резонанс квазиповерхностной волны бегущей в « \rightarrow »-направлении угловой координаты ($\text{Re } \nu_- = n$)^{*}, необходимо учитывать вклад в поверхностный ток (см. формулу (7)), и второй волны. Механизм генерации магнитного поля в этом случае будет связан с увлечением электронов квазиповерхностной волной, распространяющейся в « \rightarrow »-направлении, и может быть рассмотрен аналогичным образом. Вне области резонансных значений, для величины поля $\gamma u \geq 0,01$, генерация КМП, как показывают численные оценки, обусловлена квазиповерхностными волнами, бегущими в « \rightarrow »-направлении, поскольку последние имеют существенно больший коэффициент возбуждения. Однако вне резонанса сечение рассеяния σ , связанное с квазиповерхностными волнами, экспоненциально мало, и поэтому этот интервал значений интереса не представляет. Отметим, что учет второй волны при генерации КМП приведет к появлению дополнительных петель на кривых, изображенных на рисунках 1, 2.

Таким образом, проведенное выше рассмотрение позволяет утверждать, что генерируемое в плазме при воздействии на нее интенсивного электромагнитного излучения КМП существенно изменяет сечение рассеяния плазменного цилиндра, связанное с квазиповерхностными волнами.

Автор благодарит И. Г. Кондратьева за полезные обсуждения.

ЛИТЕРАТУРА

1. Заборонкова Т. М., Кондратьев И. Г. — Изв. вузов — Радиофизика, 1972, 15, № 12, с. 1894.
2. Абдулаев А. Ш., Алиев Ю. М., Быченков В. Ю. — Письма в ЖЭТФ, 1978, 28, № 8, с. 524.
3. Кондратьев И. Г. — Изв. вузов — Радиофизика, 1977, 20, № 5, с. 798.
4. Жаров А. А., Заборонкова Т. М., Кондратьев И. Г. — Труды XIV Всесоюзной конференции по распространению радиоволн. — М.: Наука, 1984, т. 1, с. 275.
5. Жаров А. А., Заборонкова Т. М., Кондратьев И. Г. — Труды IX Всесоюзного симпозиума по дифракции и распространению волн — Тбилиси, 1985, 2, с. 407.

Научно-исследовательский
радиофизический институт

Поступила в редакцию
29 июля 1986 г.

УДК 537.8.029.6:621.372.413

ЧАСТОТНАЯ ПЕРЕСТРОЙКА ОТКРЫТОГО РЕЗОНАТОРА ТОНКИМ ПРОВОДЯЩИМ ЦИЛИНДРОМ

И. О. Дорофеев, Г. Е. Дунаевский

Приведенные в [1, 2] строгие описания открытого резонатора (ОР) с цилиндрическими включениями основаны на численных методах, описывают двумерный случай и весьма сложны для практических приложений. Полученные в [3] методом малых возмущений аналитические выражения для смещения резонансной частоты $\Delta f'$ трехмерного ОР тонким ($r_0 \ll \lambda$) цилиндрическим проводником хорошо описывают случай сверхтонкого провода (радиусом $r_0 \ll \delta$, где δ — глубина скин-слоя) [4], но при $r_0 > \delta$ приводят к значительным расхождениям с экспериментом, а для идеально проводящего цилиндра дают бесконечные значения $\Delta f'$.

Целью данной работы является получение более корректных аналитических выражений для $\Delta f'$. По-прежнему ограничимся рамками метода возмущений, но дополним его граничными условиями на поверхности провода (учтем его «интервьюющее» влияние), считая распределение полей в остальном объеме ОР невозмущенным.

Рассмотрим ОР длиной L , образованный круглыми сферическими отражателем, в центре которого в пучности электрического поля основного вида колебаний TEM_{001} параллельно вектору напряженности \mathbf{E} расположен цилиндрический проводник радиусом $r_0 \ll \lambda$ и удельной проводимостью σ . Полагаем вектор \mathbf{E} направленным вдоль оси Oz декартовой системы координат, а ось ОР — вдоль Oy . Поле этого вида колебаний представим в виде бегущих навстречу друг другу волн: $\mathbf{E} = \mathbf{E}_{\text{по}} + \mathbf{E}_{\text{об}}$, где $\mathbf{E}_{\text{по}} = E_0 \exp[(x^2 + y^2)/\omega_0^2 -iky]$, $\mathbf{E}_{\text{об}} = E_0 \exp[(x^2 + y^2)/\omega_0^2 +iky]$. Здесь ω_0 — радиус «пятна» поля в плоскости размещения провода.

Рассмотрим сначала двумерный случай, полагая поле вдоль провода неизменным, и представим падающую на провод волну в виде [5]

$$E_{\text{пад}} = E_0 \sum_{n=-\infty}^{\infty} \rho_n J_n(k_1 r) \exp(-in\varphi),$$

* Эти значения u^* легко могут быть оценены по формуле (5).

где.

$$v_n = \sum_{m=0}^{n/2} \frac{(-1)^m n! (\lambda/2\pi\omega_0)^{2m}}{m! (n-2m)!}.$$

Здесь J_n — функции Бесселя, $k_1 = 2\pi/\lambda$, r , φ , z — цилиндрические координаты. Рас-
сеянное поле ищется в виде

$$E_{\text{рас}} = \sum_{m=-\infty}^{\infty} p_m A_m H_m^{(2)}(k_1 r) \cos m \varphi,$$

где $H_m^{(2)}$ — функции Ханкеля, а A_m — коэффициенты, определяемые из граничных ус-
ловий. В [5, 6] показано, что A_m пропорциональны отношениям вида

$$\frac{J_m(k_1 r_0)}{H_m^{(2)}(k_1 r_0)} \sim \left(\frac{k_1 r_0}{2}\right)^m \frac{1}{m!}.$$

Поскольку $k_1 r_0 \ll 1$, все A_m можно положить равными нулю кроме A_0 . Запишем вы-
ражения для электрического и магнитного полей E_1 , H_1 вне провода и E_2 , H_2 —
в его объеме:

$$E_1 = E_0 J_0(k_1 r) + B_1 H_0^{(2)}(k_1 r), \quad H_1 = (i/\omega_1)(E_0 J_1(k_1 r) + B_1 H_1^{(2)}(k_1 r)), \\ E_2 = B_2 J_0(k_2 r), \quad H_2 = (i/\omega_2) B_2 J_1(k_2 r),$$

где $B_1 = p_0 A_0$, B_2 находятся из граничных условий, $\omega_1 = \sqrt{\mu_0/\epsilon_0}$, $\omega_2 = \sqrt{-i\omega\mu_0/\sigma}$,
 $k_2 = \sqrt{-i\omega\mu_0\sigma}$, ϵ_0 , μ_0 — диэлектрическая и магнитная проницаемости вакуума. Ис-
пользуя граничные условия на поверхности $r=r_0$: $E_1=E_2$, $H_1=H_2$, найдем

$$E_1 = E_0(J_0(k_1 r) - c H_0^{(2)}(k_1 r)), \quad H_1 = (iE_0/\omega_1)(J_1(k_1 r) - c H_1^{(2)}(k_1 r)), \\ E_2 = E_0(J_0(k_1 r_0) - c H_0^{(2)}(k_1 r_0))(J_1(k_2 r)/J_0(k_2 r_0)), \quad (1)$$

$$H_2 = (iE_0/\omega_2)(J_0(k_1 r_0) - c H_0^{(2)}(k_1 r_0))(J_1(k_2 r)/J_0(k_2 r_0)),$$

где

$$c = -\frac{B_1}{E_0} = \frac{J_1(k_1 r_0) J_0(k_2 r_0) \omega_2 - J_0(k_1 r_0) J_1(k_2 r_0) \omega_1}{H_1^{(2)}(k_1 r_0) J_0(k_2 r_0) \omega_2 - H_0^{(2)}(k_1 r_0) J_1(k_2 r_0) \omega_1}.$$

Величину перестройки ОР определим, используя выражение [7]:

$$\Delta\omega = (-i/2N) \int J E dz, \quad (2)$$

где интегрирование проводится по длине провода, $J = 2\pi r_0 I_1(r_0)$ — полный ток,
 $N = (\pi/4) \omega_0^2 \epsilon_0 L E_0^2$ — норма колебания ТЕМ_{00q}. При интегрировании (2) учтем трех-
мерный характер задачи, т. е. положим, что распределение электрического поля вдоль
провода имеет вид $E = E_0 \exp(-z^2/\omega_0^2)$. После подстановки (1) в (2) и интегриро-
вания получим

$$\Delta\omega = (4\sqrt{\pi} r_0 / \sqrt{2} \omega_0 \omega_1 \epsilon_0 L) (J_1(k_1 r_0) - c H_1^{(2)}(k_1 r_0)). \quad (3)$$

Величина $\Delta\omega$ в (3) является комплексной, смещение резонансной частоты ОР описы-
вает ее действительная часть:

$$\Delta f' = (1/2\pi) \text{Re}(\Delta\omega). \quad (4)$$

В случае больших σ (при $r_0 \gg \delta$) разложение в ряд цилиндрических функций в (3)
с сохранением только первого члена разложения дает приближенное асимптотическое
выражение

$$\Delta f' = \frac{\sqrt{2}}{\sqrt{\pi} \omega_0 \epsilon_0 \mu_0 \omega_0 L \ln(2/\gamma k_1 r_0)} \left(1 - \frac{\delta}{2r_0 \ln(2/\gamma k_1 r_0)}\right), \quad (5)$$

где γ — постоянная Эйлера ($\ln \gamma = 0,577$), $\delta = \sqrt{2/\omega\mu_0\sigma}$. Заметим, что для идеального
проводника (5) дает конечное значение $\Delta f'$:

$$\Delta f' = \sqrt{2} = [\sqrt{\pi} \omega_0 \epsilon_0 \mu_0 \omega_0 L \ln(2/\gamma k_1 r_0)]^{-1}. \quad (6)$$

Экспериментально исследовалось включение в ОР образцов остеклованного мед-
ного микропровода диаметром от 1 до 50 мкм. Толщина стеклянной изоляции позво-
ляла пренебречь влиянием стекла на результат измерений [8]. Измерения проводи-
лись в 3-сантиметровом диапазоне длин волн в ОР, состоящем из двух сфериче-

ских отражателей диаметром 26 см и радиусом кривизны 40 см. Точность определения величины $\Delta f'$ составляла 0,2 МГц.

На рисунке приведены зависимости $\Delta f'$ от $2r_0$ при различных L . Точками показаны экспериментальные значения, сплошными линиями — результаты расчета по формуле (4) для $\sigma=5 \cdot 10^7$ См/м, $f=10$ ГГц. Расчетные кривые 1—4 соответствуют значениям $L=44,1; 31,3; 24,7; 18,2$ см, при которых проводились измерения.

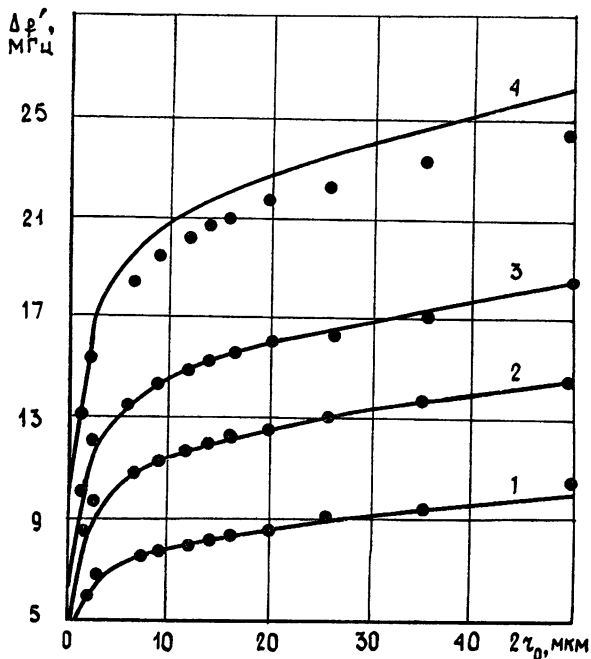


Рис. 1.

Как видно из рисунка, скорость возрастания $\Delta f'$ с ростом r_0 (а также σ , см. (4)) снижается благодаря «шунтирующему» действию проводника: при больших r_0 и σ поле перестает проникать в объем цилиндра, образуя у его поверхности «узел», в итоге взаимодействие поля резонансного колебания с проводом ослабевает.

Хорошее совпадение расчета с экспериментом наблюдается при больших расстояниях между отражателями ($L=44,1$ см, $L=31,3$ см). Для малых L с увеличением диаметра проводника наблюдается расхождение результатов измерений с расчетными. Это связано, по-видимому, с тем, что при малых L предположение о неизменности распределения поля открытого резонатора при внесении в него тонкого проводника становится неверным.

Таким образом, несмотря на определенную ограниченность примененного подхода сочетание метода возмущений с решением граничной задачи на поверхности проводника позволяет описывать включение хорошо проводящего цилиндра в ОР большой длины. Смещения частоты, вызываемые помещением в ОР тонкого проводника, имеют достаточно большие абсолютные значения и могут быть использованы для бесконтактных радиоизмерений.

ЛИТЕРАТУРА

1. Белостоцкий В. В., Васильев Е. Н. — Радиотехника и электроника, 1979, 24, № 7, с. 1308.
2. Кошпаренок В. Н., Мележик П. Н., Поединчук А. Е., Шестопалов В. П. — Изв. вузов — Радиофизика, 1985, 28, № 10, с. 1311.
3. Дунаевский Г. Е., Завьялов А. С. В кн.: Электродинамика и распространение волн. — Томск: Гос ун-т, 1980, вып. 1, с. 149.
4. Дунаевский Г. Е., Завьялов А. С. — Дефектоскопия, 1986, № 7, с. 58.
5. Nicolaos G., Alexopoulos, P., Rong K., Park. — IEEE Trans. Anten. Propag., 1972, 20, № 3, p. 216.
6. Ваганов Р. Б., Каценеленбаум Б. З. Основы теории дифракции — М.: Наука, 1982.
7. Слэтер Д. Электроника сверхвысоких частот — М.: Сов. радио, 1948.
8. Дорофеев И. О., Дунаевский Г. Е. Статья депонирована в ВИНТИ, рег. № 6216-85. Деп от 21.08.85 г.